

## 湖山池水質の数値解析について

箕 一郎 安 田 満 夫 油 井 磬 輔  
三 田 正 之 畑 崎 俊 敬 坂 田 裕 子

### はじめに

湖山池の水質汚濁機構を解明するために、COD、Total-N(以下T-Nという)、Total-P(以下T-Pという)、Chlorophyll-a(以下Chl-aという)等について重回帰分析、フーリエ解析を行ない、水質予測に関するCOD等の特性を明らかにしようとした。

### 水域の概要

湖山池は鳥取市の北西部に位置する汽水湖で、

湖山川、枝川を流入河川とし、湖山川を流出河川として日本海に連っている。その規模は水面積6.8km<sup>2</sup>、最大水深7m、平均水深2.8mである。池の北東岸は鳥取大学を核とする学園地区となっており、池の南方には吉岡温泉がある。

### 水質の現況

湖山池では、図1に示すSt.1～4の4地点の上層と下層について、月1回の常時監視調査を行っている。中央部のSt.3(深度3.8m)の昭和52～55年度の水質を表1に示した。

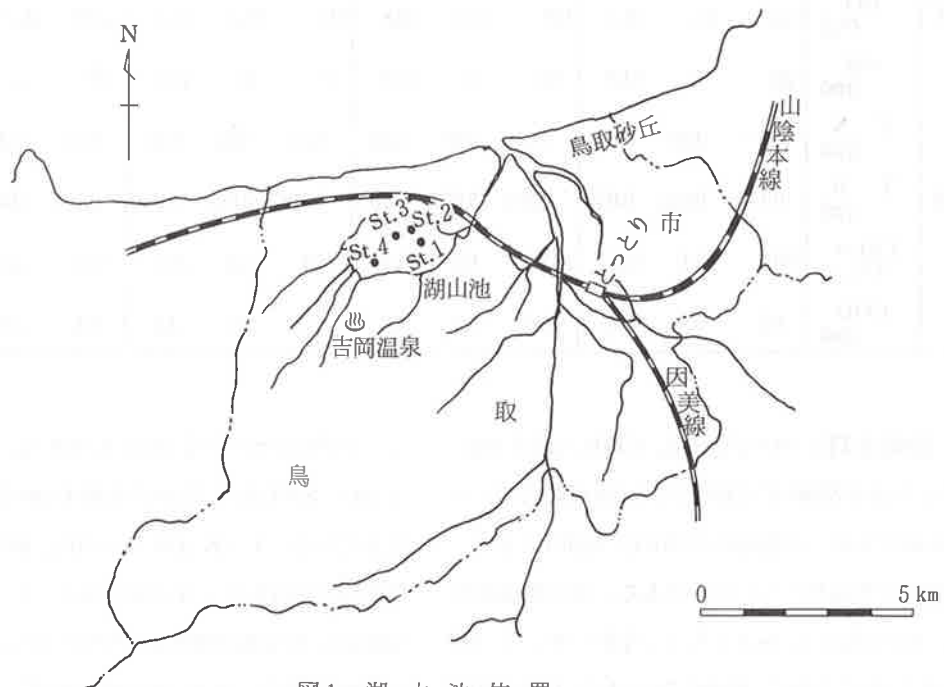


図1 湖山池位置

表 1 水質の最大値・最小値・平均値 (St. 3)

| 層  | 項目                           | 昭和 52 年度 |       |       | 昭和 53 年度 |       |       | 昭和 54 年度 |       |       | 昭和 55 年度 |       |       |
|----|------------------------------|----------|-------|-------|----------|-------|-------|----------|-------|-------|----------|-------|-------|
|    |                              | 最大値      | 最小値   | 平均値   |
| 上層 | 水温 (°C)                      | 31.0     | 3.5   | 16.7  | 32.0     | 4.5   | 16.8  | 29.0     | 1.5   | 16.0  | 25.0     | 2.0   | 14.9  |
|    | 透明度 (m)                      | 1.8      | 0.5   | 0.8   | 2.5      | 0.6   | 0.9   | 3.5      | 0.5   | 1.0   | 2.0      | 0.3   | 0.8   |
|    | pH                           | 9.7      | 7.0   | 7.8   | 9.2      | 7.1   | 8.0   | 9.1      | 7.1   | 7.7   | 9.2      | 7.1   | 7.6   |
|    | DO (%)                       | 148      | 79    | 107   | 164      | 84.8  | 107   | 144      | 75    | 101   | 147      | 88.3  | 98.4  |
|    | SS (ppm)                     | 22       | 1     | 11.8  | 34       | 2     | 13.5  | 81       | 1     | 8.8   | 47       | 3     | 17.8  |
|    | T-N (ppm)                    | 1.17     | 0.35  | 0.70  | 2.07     | 0.26  | 0.77  | 1.16     | 0.31  | 0.55  | 0.77     | 0.31  | 0.54  |
|    | T-P (ppm)                    | 0.132    | 0.023 | 0.055 | 0.343    | 0.026 | 0.199 | 0.142    | 0.017 | 0.058 | 0.116    | 0.015 | 0.058 |
| 下層 | Chl-a ( $\mu\text{g}/\ell$ ) | 81.4     | 9.8   | 40.9  | 389      | 6.7   | 85.8  | 121      | 2.7   | 33.0  | 64.4     | 2.7   | 30.0  |
|    | COD (ppm)                    | 10.0     | 3.4   | 6.1   | 16.0     | 3.4   | 7.9   | 9.9      | 2.5   | 5.0   | 11.0     | 2.6   | 4.9   |
|    | 水温 (°C)                      | 28.0     | 3.0   | 16.5  | 29.0     | 4.0   | 16.4  | 27.5     | 1.5   | 15.2  | 23.5     | 2.0   | 14.4  |
|    | pH                           | 8.3      | 7.0   | 7.5   | 8.9      | 7.2   | 7.9   | 8.7      | 7.1   | 7.5   | 7.6      | 6.9   | 7.3   |
|    | DO (%)                       | 108      | 53    | 91.7  | 106      | 77.9  | 94.8  | 116      | 71.3  | 89.8  | 99.5     | 43.7  | 80.1  |
|    | SS (ppm)                     | 25       | 1     | 14.8  | 25       | 2     | 13.3  | 20       | 2     | 10.3  | 42       | 3     | 19.4  |
|    | T-N (ppm)                    | 1.27     | 0.35  | 0.66  | 1.31     | 0.26  | 0.72  | 0.93     | 0.22  | 0.51  | 0.73     | 0.35  | 0.55  |
| 層  | T-P (ppm)                    | 0.115    | 0.024 | 0.058 | 0.262    | 0.027 | 0.109 | 0.106    | 0.021 | 0.056 | 0.103    | 0.027 | 0.060 |
|    | Chl-a ( $\mu\text{g}/\ell$ ) | 59.4     | 13.1  | 30.8  | 137      | 6.7   | 53.2  | 49.1     | 4.3   | 25.4  | 66.7     | 3.5   | 26.2  |
|    | COD (ppm)                    | 9.7      | 3.5   | 5.4   | 10.0     | 3.3   | 6.6   | 6.0      | 2.6   | 4.5   | 6.1      | 2.8   | 4.3   |

上層の水質について見れば、CODは最大 16.0 ppmから最小 2.5 ppmまで変化し、年度の平均は 7.9 ~ 4.9 ppmである。水温は最高 32.0 °C、最低 1.5 °Cで、年度の平均は 16.8 ~ 14.9 °Cである。透明度は最大 3.5 mから最小 0.3 mまで大きく変動している。pH の最大は 9.7 と高く、最小は 7.0 である。DOの飽和

率(以下DO%という)は最大 164 %、最小 75 %と高い。SSは最大 47 ppmから最小 1 ppmと大幅に変化している。T-Nは最大 2.07 ppm、最小 0.26 ppmで、年度の平均は 0.77 ~ 0.54 ppmである。T-Pは最大 0.343 ppm、最小 0.015 ppmで、年度の平均は 0.199 ~ 0.055 ppmである。Chl-aは最大 389  $\mu\text{g}/\ell$ 、最小 2.7

$\mu g/\ell$ と大幅に変化し、その比は144倍に及んでいます。

下層の水質は上層に比べてCOD、水温、pH、DO%、Chl-aは若干低いが、SS、T-N、T-Pは余り変わらない。

水質の季節変化を見るために、中央部St.3の上層の水温、pH、DO%、COD、T-N、T-P、Chl-aの経年変化を図2と図3にまとめた。水温は夏季の7・8月に高く(年度の最高は32.0～25°C)、冬季の1・2月に低く(年度の最低は4.5～1.5°C)、周期性に富んだ季節変化を示している。pHは水温ほどの変化を示さないが、夏季は9.7～9.1

と高い数値を示している。DO%は夏期に164～144%と高い数値を示し、平均値も107～98.4%と高くなっている。富栄養湖では、水温が上昇し日射量の増加する夏季に、植物性のプランクトンの光合成によってDOが増加し、またpHが上昇する現象があるが、湖山池でもこの現象が顕著に現れている。

CODは夏季の7・8月に16.0～9.9 ppmと高い数値を示し、冬季の1・2月に3.4～2.5 ppmと低い数値を示しており、比較的周期性に富んだ変化をしている。T-N、T-P、Chl-aは7～10月に高く、12～2月に低い季節変化を示している。

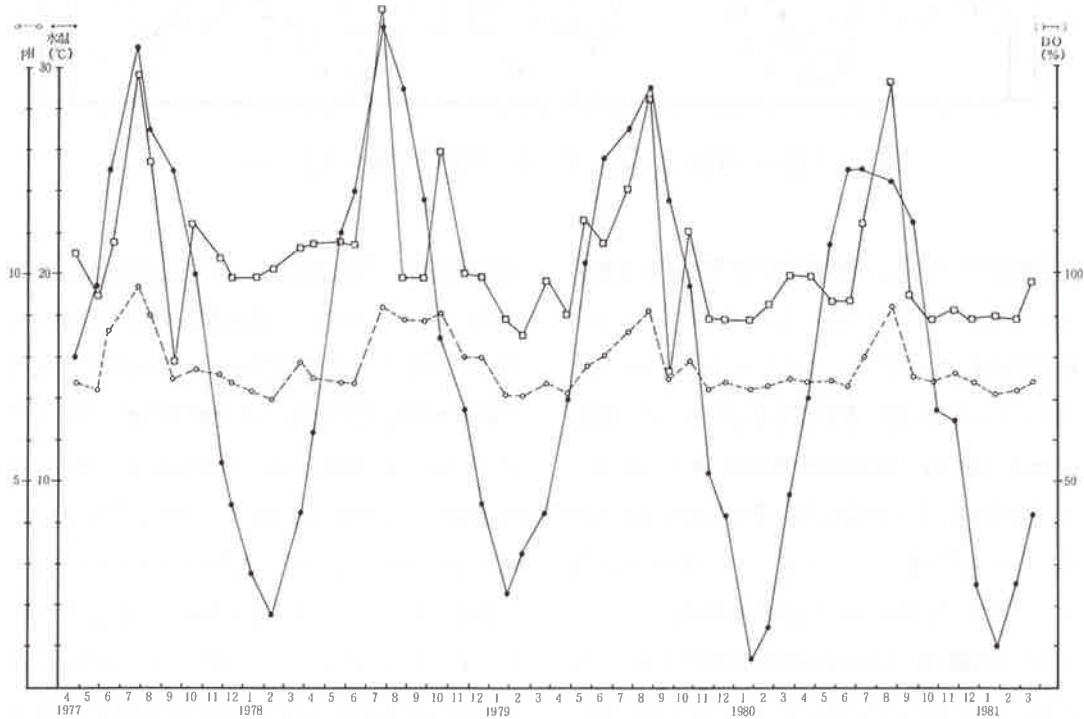


図2 上層のpH・水温・DO(%)の経年変化(St.3)

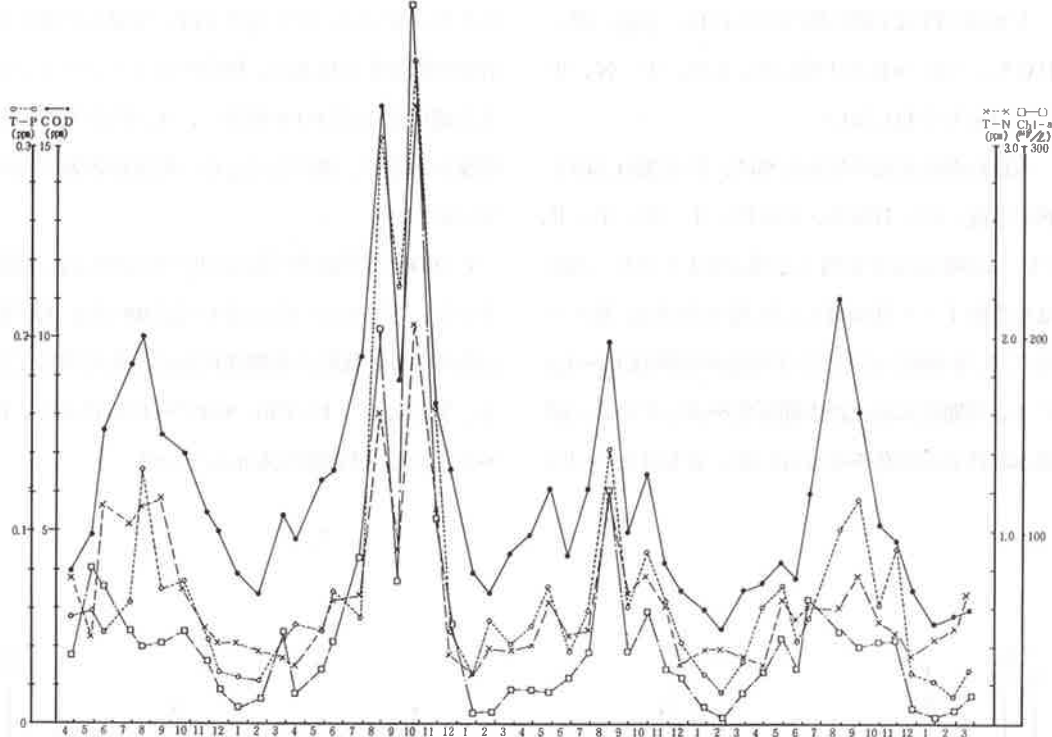
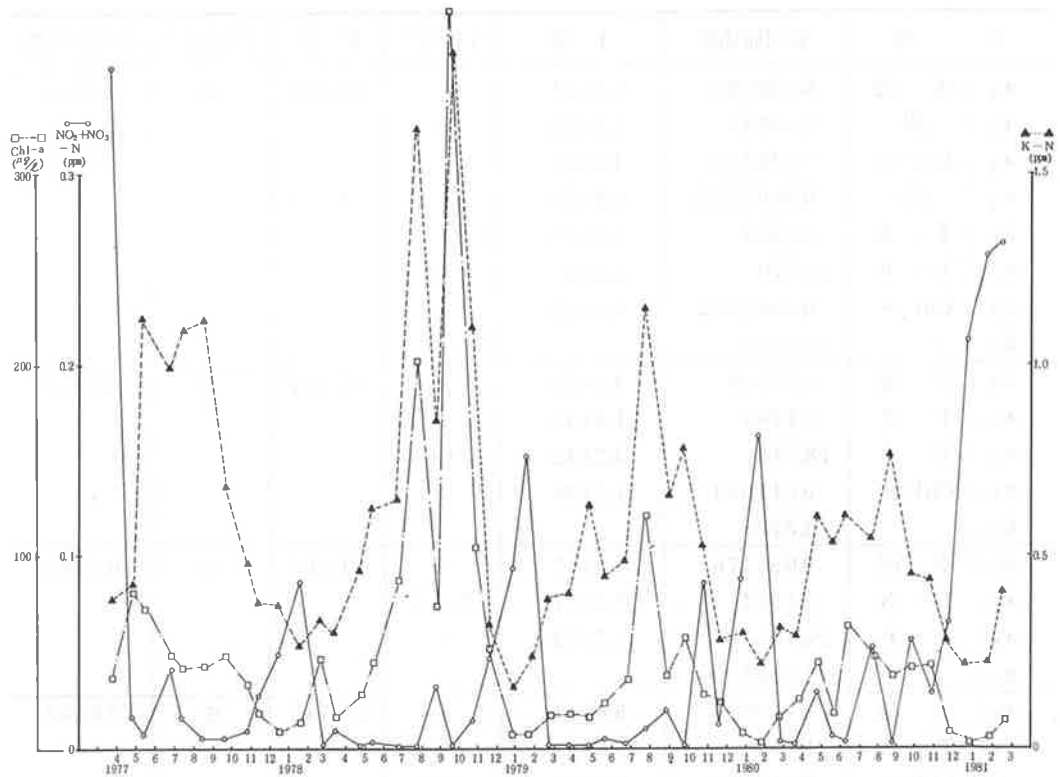


図3 上層のCOD・T-N・T-P・Chl-aの経年変化(St.3)

窒素については、形態別窒素の季節変化を観察するため、それぞれの経年変化を図4に示した。Kjeldahl-N(以下K-Nという)は6~9月に高く、1~2月に低い季節変化を示している。 $\text{NO}_2 + \text{NO}_3 - \text{N}$ はK-NやCODやChl-aと逆に6~9月で低く、1~2月に高い季節変化を示している。これは植物プランクトンの活動が盛んな6~9月には、Chl-aに代表される植物プランクトンにより消費されるが、その活動が低下する1~2月には、消費されないで残留するために、高い数値を示すものと考察される。

気象(鳥取地方気象台の昭和52~55年のデータ)と水質の関係を見れば、昭和53年の7~8月は

気温が高く、降水量が少なく、日照時間が長い。反対に昭和55年の7~8月は冷夏で気温が低く、降水量が多く、日照時間が短い。昭和53年と同55年の上層の最大値(St.3)を比較すれば、水温は32°Cと25°C、T-Nは2.07ppmと0.77ppm、T-Pは0.343ppmと0.116ppm、Chl-aは389 $\mu\text{g}/\ell$ と64.4 $\mu\text{g}/\ell$ 、CODは16ppmと11ppmで、すべて昭和53年が大幅に高い数値を示している。また、COD、水温、T-N、T-P、Chl-aについて、昭和52~55年度の各年の最大値を比較すれば、昭和53年度はどの項目も最大を示し、昭和55年度はCODを除いて最小を示している。

図4 上層のK-N・NO<sub>2</sub>+NO<sub>3</sub>-N・Chl-aの経年変化(St.3)

#### 重回帰分析について

湖山池の水質のCODに関する将来予測の可能性を知るため、中央部St.3の上層、下層の昭和52～55年度の測定結果から、目的変数( $y$ )をCODとし、説明変数( $x$ )を水温、pH、DO%、SS、T-N、T-P、Chl-aの7項目とした場合の重回帰分析を行い、結果を表2に示した。

上層の重相関係数は0.9561と高いが、偏回帰係数についてt検定すれば、T-Pだけが0.1%で有意であり、他の6項目は有意とはいえない。そこで最良回帰式を求めるために、変数減少法により説明変数の数を減少させ、水温、T-P、Chl-

-aの3項目による最良回帰式を求めた。この場合の重相関係数は0.9262と高く、F値は88.545で、F検定における1%の数値2.839から見ても有効であると考えられる。偏回帰係数をt検定すれば、水温とT-Pは0.1%で有意であり、Chl-aは2.5%で有意である。

同様に、7項目を説明変数とした場合の下層の重回帰係数は0.9134と高いが、偏回帰係数についてもt検定すれば、水温が1%で有意、T-Pが2.5%で有意、T-Nが5%で有意で他の4項目は有意とはいえない。そこで説明変数を減少させると、水温、T-N、T-Pの3項目の場合が最良回帰式として求められる。この場合、重相関

表 2-1 重回帰分析結果(上層)

| 変量            | 偏回帰係数      | t 値    | t 検定 <sup>1)</sup> | F 値    | F 検定 <sup>2)</sup> | 重相関係数  |
|---------------|------------|--------|--------------------|--------|--------------------|--------|
| $x_1$ : 水温    | 0.039603   | 1.6131 | —                  | 60.840 | *                  | 0.9561 |
| $x_2$ : pH    | 0.85275    | 1.6443 | —                  |        |                    |        |
| $x_3$ : DO(%) | 0.025203   | 1.5451 | —                  |        |                    |        |
| $x_4$ : SS    | 0.00013958 | 0.0079 | —                  |        |                    |        |
| $x_5$ : T - N | 1.2472     | 1.3913 | —                  |        |                    |        |
| $x_6$ : T - P | 20.570     | 3.7616 | *                  |        |                    |        |
| $x_7$ : Chl-a | 0.0045642  | 0.8029 | —                  |        |                    |        |
| $b_0$ :       | -6.4284    |        |                    |        |                    |        |
| $x_1$ : 水温    | 0.10508    | 4.4620 | *                  | 67.494 | *                  | 0.9287 |
| $x_5$ : T - N | 1.2743     | 1.2145 | —                  |        |                    |        |
| $x_6$ : T - P | 18.718     | 3.2442 | **                 |        |                    |        |
| $x_7$ : Chl-a | 0.011094   | 1.7745 | —                  |        |                    |        |
| $b_0$ :       | 1.5708     |        |                    |        |                    |        |
| $x_1$ : 水温    | 0.096176   | 4.0411 | *                  | 81.416 | *                  | 0.9205 |
| $x_5$ : T - N | 2.1981     | 2.2357 | ****               |        |                    |        |
| $x_6$ : T - P | 23.705     | 4.7973 | *                  |        |                    |        |
| $b_0$ :       | 1.2805     |        |                    |        |                    |        |
| $x_1$ : 水温    | 0.11698    | 5.4341 | *                  | 88.545 | *                  | 0.9262 |
| $x_6$ : T - P | 21.176     | 3.8982 | *                  |        |                    |        |
| $x_7$ : Chl-a | 0.014376   | 2.5362 | ***                |        |                    |        |
| $b_0$ :       | 1.8619     |        |                    |        |                    |        |

注 1) \*は0.1%で有意、\*\*は1%で有意、\*\*\*は2.5%で有意、\*\*\*\*は5%で有意  
—は有意であるといえない。

2) \*は1%で有意。

係数は0.8726、F値は53.845で、F検定における1%の数値2.839を大幅に上回っていることから、有効であると考えられる。偏回帰係数についてt検定すれば、T-Pが0.1%で有意、水温とT-Nが1%で有意である。

ここで求められた重回帰式は、

$$\text{上層のCOD (ppm)} = 0.117 \text{ 水温} (\text{°C}) + 21.2 \text{ T - P}$$

$$(\text{ppm}) + 0.0144 \text{ Chl-a} (\mu\text{g}/\text{L}) + 1.86 (\text{ppm})$$

$$\text{下層のCOD (ppm)} = 0.0517 \text{ 水温} (\text{°C}) + 2.06 \text{ T - N}$$

$$(\text{ppm}) + 18.4 \text{ T - P} (\text{ppm}) + 1.84 (\text{ppm})$$

であった。上層と下層のCODの実測値と重回帰

式より求めた計算値を図5、図6に示した。両曲線は一覧して非常に良く合致しているが、ちなみに実測値と計算値の最大値、最小値、平均値、標準偏差を比較すれば、上層の場合、最大値は16.0 ppmと16.7 ppm、最小値は2.5 ppmと2.6 ppm、平均値は5.96 ppmと5.96 ppm、標準偏差は2.99と2.77であり、下層の場合、最大値は10.0 ppmと10.3 ppm、最小値は2.6 ppmと3.0 ppm、平均値は5.21 ppmと5.21 ppm、標準偏差は1.85と1.61であって、ともに良く類似した値を示している。しかし、昭和52年の4~9月と昭和55年の4~8月は、上層、下層ともに実測値と計算値に差が

表2-2 重回帰分析結果(下層)

| 変量            | 偏回帰係数      | t値     | t検定 <sup>1)</sup> | F値     | F検定 <sup>2)</sup> | 重相関係数  |
|---------------|------------|--------|-------------------|--------|-------------------|--------|
| $x_1$ : 水温    | 0.059528   | 2.7564 | *                 | 28.776 | *                 | 0.9134 |
| $x_2$ : pH    | 0.57700    | 1.3262 | -                 |        |                   |        |
| $x_3$ : DO(%) | 0.0067719  | 0.6135 | -                 |        |                   |        |
| $x_4$ : SS    | -0.0088298 | 0.5714 | -                 |        |                   |        |
| $x_5$ : T-N   | 1.5552     | 2.2744 | ***               |        |                   |        |
| $x_6$ : T-P   | 11.043     | 2.4097 | ***               |        |                   |        |
| $x_7$ : Chl-a | 0.013253   | 1.6198 | -                 |        |                   |        |
| $b_0$ :       | -2.7325    |        |                   |        |                   |        |
| $x_1$ : 水温    | 0.051344   | 2.9079 | **                | 45.596 | *                 | 0.8995 |
| $x_5$ : T-N   | 1.9359     | 2.8086 | **                |        |                   |        |
| $x_6$ : T-P   | 11.460     | 2.6227 | ***               |        |                   |        |
| $x_7$ : Chl-a | 0.018293   | 2.2911 | ***               |        |                   |        |
| $b_0$ :       | 1.7926     |        |                   |        |                   |        |
| $x_1$ : 水温    | 0.065375   | 3.6128 | *                 | 50.932 | *                 | 0.8811 |
| $x_6$ : T-P   | 14.906     | 3.3592 | **                |        |                   |        |
| $x_7$ : Chl-a | 0.021650   | 2.5471 | ***               |        |                   |        |
| $b_0$ :       | 2.3960     |        |                   |        |                   |        |
| $x_1$ : 水温    | 0.051702   | 2.7964 | **                | 53.845 | *                 | 0.8726 |
| $x_5$ : T-N   | 2.0639     | 2.8689 | **                |        |                   |        |
| $x_6$ : T-P   | 18.371     | 5.5488 | *                 |        |                   |        |
| $b_0$ :       | 1.8387     |        |                   |        |                   |        |

注 1) \*は0.1%で有意、\*\*は1%で有意、\*\*\*は2.5%で有意、\*\*\*\*は5%で有意、-は有意であるといえない。

2) \*は1%で有意。

見られる。これらの期間は、これら以外の期間に比べて、COD、T-N、T-P、Chl-aの測定値の地点間(St.1~4)のばらつきが大きい現象が見られる。上述した最良回帰式は上層でT-N、下層でChl-aの項目が欠けており、これによる影響が考えられるので、これらの期間において上層はChl-aの代りにT-Nを採用し、下層はChl-aを追加した修正重回帰式により修正計算値を求めて見た(図5、図6参照)。修正重回帰式は、

$$\text{上層のCOD (ppm)} = 0.0962 \text{ 水温} (\text{°C}) + 2.20$$

$$\text{T-N (ppm)} + 23.7 \text{ T-P (ppm)} + 1.28 \text{ (ppm)}$$

$$\begin{aligned} \text{下層のCOD (ppm)} &= 0.0513 \text{ 水温} (\text{°C}) + 1.94 \\ &\quad \text{T-N (ppm)} + 11.5 \text{ T-P (ppm)} + 0.0183 \text{ Chl-a} \\ &\quad (\mu\text{g}/\ell) + 1.79 \text{ (ppm)} \end{aligned}$$

である。最良回帰式のCOD算出の項目において、上層のChl-aが下層でT-Nと代っているが、上層と下層のT-NとChl-aの4年間の平均値で見ると、それぞれT-Nは0.64ppmと0.61ppm、Chl-aは47.4  $\mu\text{g}/\ell$ と33.9  $\mu\text{g}/\ell$ であり、上層に比べて下層のChl-aが低下したためと考えられる。

以上のごとく、CODが水温、T-N、T-P、Chl-aの重回帰式で表わされることが分ったが、

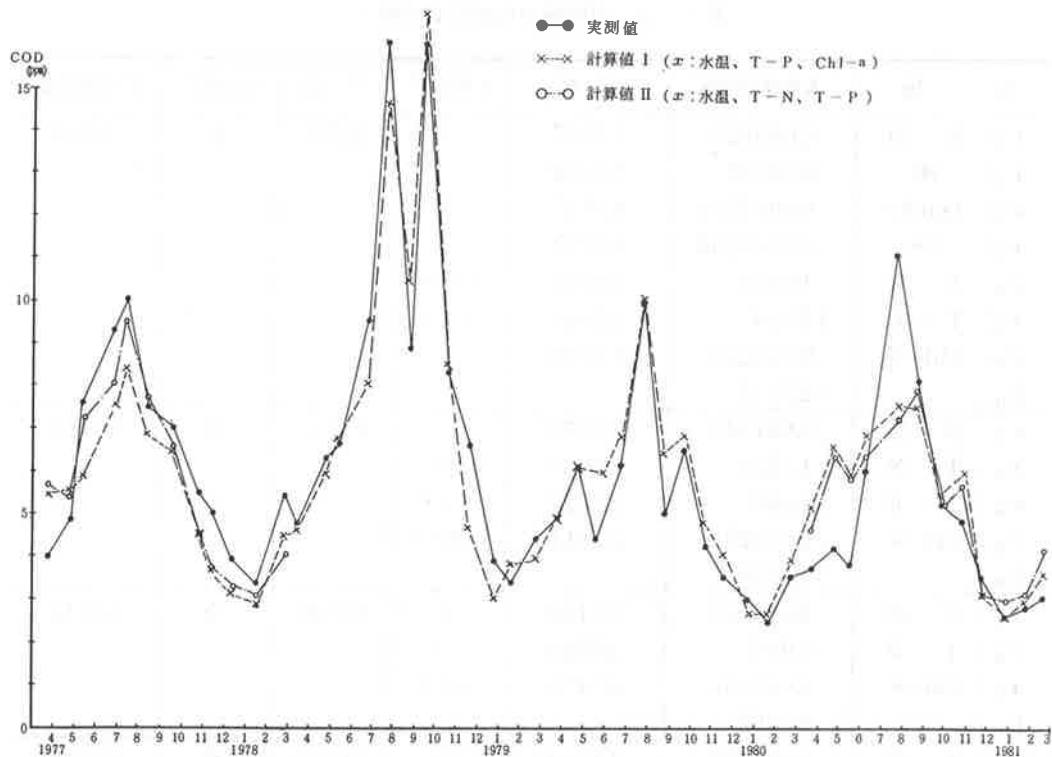


図5 上層のCODの実測値と計算値(St. 3)

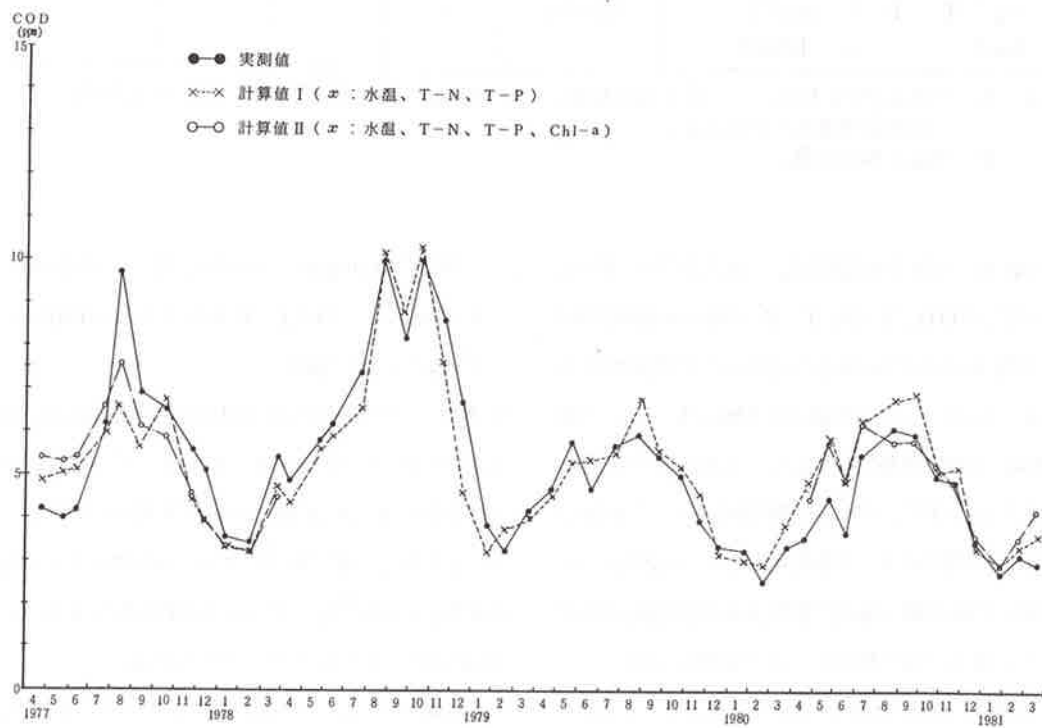


図6 下層のCODの実測値と計算値(St. 3)

CODと他の項目との相関係数を見れば、上層は水温が0.6415、透明度が-0.4417、pHが0.8166、DO%が0.5851、SSが0.4300、T-Nが0.8485、T-Pが0.8621、Chl-aが0.8186とすべて1%で有意であり、特にpH、T-N、T-P、Chl-aは0.8以上の高い数値を示している。また下層は水温が0.6344、透明度が-0.4600、pHが0.7343、DO%が0.0665、SSが0.3501、T-Nが0.7395、T-Pが0.8224、Chl-aが0.7689と、DO%とSSを除いては1%で有意である。

#### フーリエ解析について

湖山池のCODは、重回帰分析において上層は

水温、T-N、Chl-aの、下層は水温、T-N、T-Pの重回帰式で、実測値と計算値が良く一致した。このため、COD、水温、T-N、T-P、Chl-aにどの様な周期性があるか、それぞれ固有の周期が分ればCODの将来予測が可能ではないかという考え方から、COD、水温、T-N、T-P、Chl-aについてフーリエ解析を行った。そのパワースペクトルを図7、図8に示した。

フーリエ解析は周期性のあるデータについて、周期がTなる関数 $x(t)$ を①式のように三角関数の和として表わすもので、①式の右辺第2項、第3項をまとめた②式を用いて、フーリエ係数 $a_0$ 、 $a_n$ 、 $b_n$ を求め、その周波数特性を求めるものである。

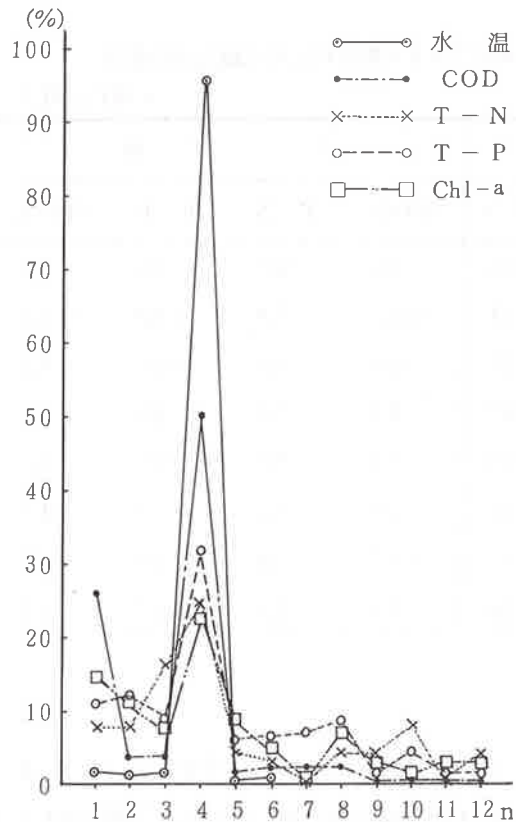


図7 上層のCOD・水温・T-N・T-P・Chl-aのフーリエ解析によるパワースペクトル

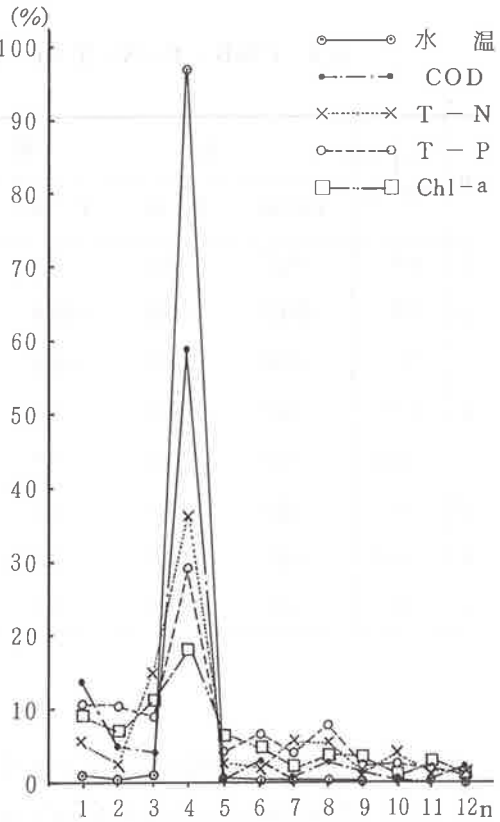


図8 下層のCOD・水温・T-N・T-P・Chl-aのフーリエ解析によるパワースペクトル

$$x(t) = a_0 + \sum_{n=1}^{\infty} a_n \cos(2\pi nt/T) + \sum_{n=1}^{\infty} b_n \sin(2\pi nt/T) \quad \text{①}$$

$$x(t) = a_0 + \sum_{n=1}^{\infty} C_n \cos(2\pi nt/T - \varphi_n) \quad \text{②}$$

ただし  $C_n = \sqrt{a_n^2 + b_n^2}$ ,  $\tan \varphi_n = b_n/a_n$

COD、水温、T-N、T-P、Chl-aの周期について見れば、12か月周期(n=4)がどの項目においても一番強い周期で、その寄与率は上層では水温が96.2%、CODが50.3%、T-Nが37.7%、T-Pが31.6%、Chl-aが20.7である。下層も上層に類似した傾向を示している。12か月周期以外の主要周期としては、CODは48か月周期(n=1)、T-Nは16か

月周期(n=3)、T-Pは48、24、16、6か月周期、Chl-aは48、24、16か月周期がある。

主要周期について項目間の関係を見るため表3を作成した。表3は②式の $\varphi_n$ (位相差)を水温を基準として求めたもので、単位は月で示した。上層のCODの12か月周期について見れば、CODの位相は水温より0.9か月遅れており、T-Nが1.0か月、Chl-aが1.3か月、T-Pが1.4か月遅れである。CODとT-Pの位相差が12か月周期のなかで、僅か0.5か月に過ぎないことから、COD、T-N、T-P、Chl-aは相互に関係しており、個々の生成過程の違いが、位相の差となっていることを示唆しているものと考察される。

表3 COD・T-N・T-P・Chl-aのフーリエ解析による水温との位相差  
(単位:月)

| n | T<br>month | 上 层   |      |       |       | 下 層   |      |       |       |
|---|------------|-------|------|-------|-------|-------|------|-------|-------|
|   |            | COD   | T-N  | T-P   | Chl-a | COD   | T-N  | T-P   | Chl-a |
| 1 | 48         | -0.7  | -3.0 | 2.8   | 1.6   | 1.7   | -2.1 | 4.6   | 3.8   |
| 2 | 24         | -1.02 | -5.8 | -20.4 | -30.4 | -10.9 | -7.0 | -10.8 | -11.4 |
| 3 | 16         | -0.2  | -0.7 | -0.8  | -1.1  | 0.5   | 0.0  | -0.6  | 1.1   |
| 4 | 12         | 0.9   | 1.0  | 1.4   | 1.3   | 1.1   | 0.8  | 1.1   | 1.1   |
| 5 | 9.6        | 0.2   | 0.5  | 0.2   | 0.9   | -0.3  | 0.1  | 0.5   | 1.6   |
| 6 | 8          | 3.9   | 4.2  | 4.0   | 4.1   | 5.0   | 5.5  | 4.0   | 4.1   |
| 7 | 6.8        | -4.6  | -4.6 | -4.8  | -4.9  | -3.7  | -3.8 | -4.8  | -4.6  |
| 8 | 6          | -2.9  | -2.5 | -2.2  | -1.8  | -0.4  | -1.0 | -0.4  | 0.4   |

CODの48か月周期は、図9に示した48か月周期、12か月周期及び寄与率80%以上となるように5周期(48、24、16、12、2.4か月周期)から合成した周期の変化から見て、昭和53年のCOD値

が高いため生じたものと考察される。T-N、T-P、Chl-aの16か月については、今後検討する必要があるが、12か月未満の周期については、T-Pの6か月周期を除いては認められなかった。

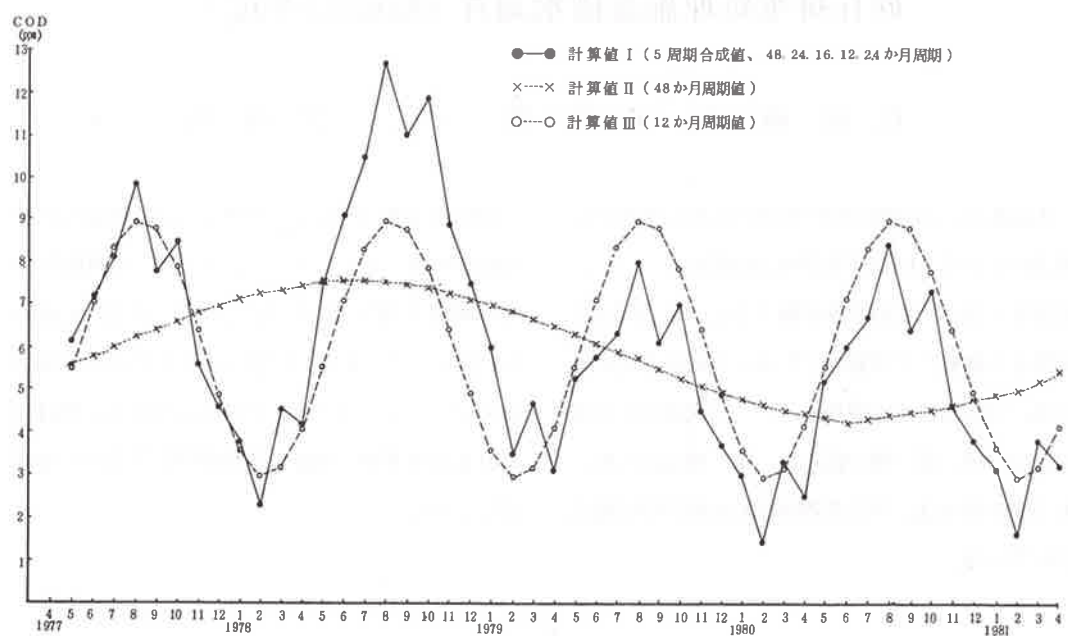


図9 上層のフーリエ解析によるCODの経年変化

## ま　と　め

1 昭和52～55年度の湖山池の中央部St. 3の上層の水質についてみれば、CODは最大16.0 ppmから最小2.5 ppmと変化し、各年度の平均は7.9～4.9 ppmであり、T-Nの年度の平均は0.77～0.54 ppm、T-Pの年度の平均は0.199～0.055 ppmである。COD、水温、T-N、T-P、Chl-aは7～10月に高く、12～2月に低い周期性に富んだ季節変化を示している。

2 CODの将来予測は重回帰分析により可能であると考えられる。即ち、昭和52～55年度の測定結果から、CODを目的変数、水温、T-N、T-P、Chl-aを説明変数とする重回帰式(上層のCOD(ppm)=0.117水温(°C)+21.2 T-P

(ppm)+0.0144 Chl-a( $\mu g/\ell$ ) + 1.86 (ppm)、下層のCOD=0.0517 水温(°C) + 2.06 T-N (ppm) + 18.4 T-P (ppm) + 1.84 (ppm) )は、重相関係数のF検定、偏回帰係数のt検定で極めて有意であり、その計算値は実測値と良く一致している。

3 フーリエ解析によれば、12か月周期が卓越しており、パワースペクトルにおける寄与率は上層では水温が96.2%、CODが50.3%、T-Nが37.7%、T-Pが31.6%、Chl-aが20.7%を占めている。また、CODの12か月周期の位相は水温より0.9か月の遅れが見られるが、T-N、T-P、Chl-aと同じような位相を示し、これらの項目間の僅かの位相差は、それぞれの生成過程の違いによるものと考察される。